

本文引用:刘蓉芳,毛以林,谭 雄,张 辉,毛湘屏,杨 柳,陈志成.心康冲剂改善慢性心衰模型大鼠心肌凋亡及调控 Caspase-3/9 的表达[J].湖南中医药大学学报,2019,39(8):948-951.

心康冲剂改善慢性心衰模型大鼠心肌凋亡及调控 Caspase-3/9 的表达

刘蓉芳^{1,2},毛以林^{2*},谭 雄²,张 辉²,毛湘屏²,杨 柳²,陈志成²

(1.江门市五邑中医院,广东 江门 529000;2.湖南中医药大学第二附属医院,湖南 长沙 410005)

[摘要] 目的 探讨心康冲剂对心衰大鼠 Caspase-3、Caspase-9 表达的调控作用。方法 58 只 SD 大鼠分为正常组 10 只,模型组、心康组及对照组各 16 只,造模完后,心康组给予心康冲剂溶液 0.5 g/kg 灌服,对照组予芪苈强心胶囊溶液 0.06 g/kg 灌服。采用心脏彩超检测心功能;心脏切片行 TUNNEL 染色法观察心肌细胞凋亡;心肌组织采用 Real-time PCR 法及免疫组化法检测 Caspase-3、Caspase-9 基因及蛋白质表达。结果 与正常组比,模型组大鼠 Caspase-3 及 Caspase-9 的 mRNA 与蛋白表达显著增加($P<0.01$),TUNNEL 染色观察细胞凋亡明显增多;与模型组比较,心康组大鼠心肌凋亡减轻, Caspase-9 mRNA、Caspase-3 mRNA 及蛋白明显下降($P<0.01$);与对照组相比,心康组心肌细胞凋亡相对降低,Caspase-3 蛋白表达下降($P<0.05$)。结论 心康冲剂可调控下调 Caspase-3、Caspase-9 表达抗心衰。

[关键词] 心肌凋亡;Caspase-3;Caspase-9;慢性心衰;心康冲剂

[中图分类号]R285.5;R541.6

[文献标志码]A

[文章编号]doi:10.3969/j.issn.1674-070X.2019.08.004

Xinkang Granule Improves Myocardial Apoptosis and the Expression of Caspase-3/9 in Rats with Chronic Heart Failure

LIU Rongfang¹, MAO Yilin^{2*}, TAN Xiong², ZHANG Hui², MAO Xiangping², YANG Liu², CHEN Zhicheng²

(1. Wuyi Hospital of Traditional Chinese Medicine, Jiangmen, Guangdong 529000, China; 2. The Second Affiliated Hospital of Hunan University of Chinese Medicine, Changsha, Hunan 410005, China)

[Abstract] **Objective** To investigate the regulatory effects of Xinkang Granule (XKG) on the rats with chronic heart failure (CHF) for the expression of Caspase-3 and Caspase-9. **Methods** A total of 58 SD rats were randomly divided into a normal group ($n=10$), a model group, a XKG group, and a control group, with 16 rats in each group. After the success of the modeling, the XKG group was given XKG solution at 0.5 g/kg, and the control group was given Qili Qiangxin Capsule (QLQXC) solution at 0.06 g/kg. Cardiac function was measured by echocardiography; Heart slices were stained by TUNNEL to observe myocardial apoptosis. The expression of gene and protein of Caspase-3, Caspase-9 were detected by Real-time PCR and immunohistochemistry. **Results** Compared with the normal group, the gene and protein of Caspase-3, Caspase-9 in the model group significantly increased ($P<0.01$). TUNNEL observed significant increase of apoptosis. Compared with the model group, the rats in XKG group showed alleviated myocardial apoptosis, and the Caspase-3, Caspase-9 mRNA and protein expression were significantly reduced ($P<0.01$). Compared with the control group, the myocardial apoptosis in the

[收稿日期]2017-09-10

[基金项目]湖南省自然科学基金(2016JJ4068);湖南省中医药科研计划(201610);国家重点实验室中医诊断学开放基金(2015ZYD11);2016 年研究生创新科研课题(2016CX08)。

[作者简介]刘蓉芳,女,博士,研究方向:中医内科心血管。

[通讯作者]*毛以林,男,主任医师,博士研究生导师,E-mail:maoyilin8518@126.com。

XKG group was relatively decreased, and Caspase-3 decreased ($P<0.05$). **Conclusion** XKG has the function of anti-heart failure by regulating and controlling the expression of Caspase-3 and Caspase-9.

[Keywords] myocardial fibrosis; Caspase-3; Caspase-9; chronic heart failure; Xinkang Granule

多种病理因素(如肾上腺素、血管紧张素Ⅱ、氧化应激、致炎细胞因子、缺血、压力或容量负荷过重、缺氧等)均可使慢性心力衰竭(CHF)诱导出现心肌细胞凋亡^[1-2]。心肌凋亡是心衰心脏重构(cardiac remodeling, CR)表现形式之一。由半胱氨酸天冬氨酸酶(Caspases)家族蛋白介导的心肌凋亡途径是内源性凋亡途径,Caspase-3 是细胞凋亡的标志^[3],处于凋亡级联上游,传递信号给下游的 Caspase-9 从而启动凋亡程序,Caspase-3/-9 是经典凋亡通路中的两个关键蛋白。

ARB、ACEI 类药物是临床抗心肌重构药物,由于其相对适应症、禁忌症导致药物使用有一定局限性,因而探讨安全有效的抗心肌凋亡中药显得尤为迫切。心康冲剂具有健脾渗湿、温阳化气逐水饮的功效,前期研究显示其具有抗慢性心力衰竭^[4],并能改善心肌重构^[5-6]。本研究观察心康冲剂调控慢性心力衰竭大鼠 Caspase-3、Caspase-9 表达,探讨其对慢性心力衰竭大鼠抗心肌凋亡的作用,为治疗心衰提供了新的途径。

1 材料与仪器

1.1 实验动物

58 只 SPF 级 SD 大鼠,雌雄各半,5 周龄,体质量(160 ± 20) g,购于湖南斯克达实验动物有限公司(实验动物合格证号:43004700025096)。

1.2 药品及仪器

盐酸阿霉素(深圳万乐药业),末端脱氧核苷酸转移酶(TdT,上海江莱生物);actin(1:4 000,Mouse,美国 proteintech),二抗 HRP-conjugated Affinipure Goat Anti-Mouse IgG(H+L)(美国 proteintech),HRP-conjugated Affinipure Goat Anti-Rabbit IgG (H+L)(美国 proteintech),Caspase-3(1:1 000,Rabbit,美国 CST),Caspase-9 (1:200,Rabbit,美国 proteintech),TUNNL 试剂盒(武汉博士德生物公司),免疫组化二抗试剂盒 PV-9000(北京中杉金桥生物公司),引物(上海生工合成),心康冲剂(湖南省中医院中药制剂室制备)。动物用彩色多普勒超声仪(徐州市大为电子设备有限公司),生物信号采集系统(成都泰盟软件有限公司),LEICA DM LB2 型双目显微镜(德国 LEICA),Motic B5 显微摄像图像分析系统(麦克奥迪实业集团),BX43 型双目生物摄像显微镜(日本

Olympus)。

2 方法

2.1 动物分组及造模

取大鼠 10 只为正常组,余下大鼠 48 只按 1.5 mg/kg 剂量腹腔注射阿霉素,每周 2 次,共注射 7 周,以左心室短轴缩短率<30%^[7]为心衰造模成功,造模方法参考文献[8];再按随机数字表法分为阿霉素对照组(模型组)16 只,心康冲剂 1 倍等效剂量组 16 只(心康组),芪苈强心胶囊组(对照组)16 只。

2.2 药物制备及干预

心康冲剂溶液配制:白参 10 g,薏苡仁 30 g,大腹皮 10 g,黄芪 30 g,桔梗 5 g,升麻 5 g,柴胡 5 g,桂枝 10 g,茯苓 15 g,生姜皮 10 g,陈皮 10 g,炒白术 10 g,制附片 10 g,砂仁 6 g。经湖南省中医院药剂科制成干燥颗粒后,按成人等效剂量 0.5 g/kg 配制成浓度为 0.6 g/mL 的溶液;对照组给予芪苈强心胶囊溶液,按成人等效剂量(0.06 g/kg),配制为浓度 0.073 g/mL。大鼠灌胃剂量按人和动物体表面积折算^[9],正常组、模型组予等体积生理盐水灌服,每日 1 次,连续 8 周。

2.3 指标及检测方法

2.3.1 心脏超声检测心功能 10%水合氯醛溶液按 3 mL/kg 麻醉大鼠后前胸脱毛,超声诊断仪取大鼠左心室长轴切面后进行 M 超声检测,测量左心室短轴缩短率(LVFS)、左室舒张期内径(LVIDd)、左室射血分数(LVEF),所有数据均测量 3 次并取其平均值记录。

2.3.2 TUNNEL 染色法检测细胞凋亡 投入 10%多聚甲醛溶液固定的大鼠心脏,先后经石蜡包埋、切片、透明、脱水、PBS 漂洗后,50 μL TdT+450 μL 荧光素标记后反应 10 min。再加 50 μL TUNEL 反应混合液,PBS 漂洗、DAPI 染色,封片,观察细胞凋亡情况。

2.3.3 Real-time PCR 法检测心肌 Caspase-3 mRNA、Caspase-9 mRNA 表达 Trizol 法提取大鼠心脏组织总 RNA,再行 RNA 的琼脂糖凝胶电泳。取大鼠左心室心尖部分 2 μg,逆转录 cDNA,42 °C 孵育 15 min,85 °C 孵育 5 min 离心,冰上冷却,行定量 PCR 反应。每个样本每个指标 3 个孔,每孔 10 μL。定量 PCR 扩增条件:95 °C 10 min,95 °C 15 s,60 °C 60 s,40 个循环。以 $2^{-\Delta\Delta Ct}$ 反映各样品相对于对照组

样品目的基因的表达水平。 $-\Delta\Delta Ct = \Delta Ct_{对照} - \Delta Ct_{样本}$, $\Delta Ct = \Delta Ct_{目的} - \Delta Ct_{内参}$ 。每个样本重复3次,然后进行统计分析。

在NCBI上搜索获得Caspase-3、Caspase-9基因序列,primer5设计引物,上海生工合成。引物序列见表1。

表1 引物序列表

引物名称		序列	产物长度/bp
Actin	F	CATCCTGCGTCTGGACCTGG	
	R	TAATGTCACGCACGATTCC	116
rat Caspase-3	F	TTAGAACTTGAATCCACGAG	
	R	TTCCAATAATAAACACGACT	164
rat Caspase-9	F	CATACACCCCTGGACTCGGAT	
	R	ATTTCTTAGCAGTCAGGTCGTT	181

2.3.4 免疫组化法检测心肌 Caspase-3、Caspase-9 含量 心肌标本均经4%多聚甲醛液固定、包埋、切片、脱蜡、乙醇脱水后,3%双氧水阻断内源性过氧化物酶;微波修复抗原2次,冷至室温,PBS洗,加1:100一抗Caspase-3、Caspase-9每片50 μL,4 °C过夜,加二抗,滴加二甲基联苯胺(DAB)显色液,苏木精复染、脱水、透明、封片。采用MOTIC图像分析系统在×400倍光学显微镜下对Caspase-3、Caspase-9阳性结果进行半定量分析;分析每个视野下各细胞光密度值,最后取该切片总的平均密度值。

平均光密度值=积分光密度值/所选定视野总面积

2.4 统计学方法

所有数据应用SPSS 20.0统计软件进行处理。全部计量资料用“ $\bar{x}\pm s$ ”表示,先检验正态性,如满足正态性,采用单因素方差分析;两两比较,方差齐采用方差分析-LSD检验,方差不齐用Games-Howell检验;不满足正态性时选择秩和检验。以 $P<0.05$ 为差异具有统计学意义。

3 结果

3.1 各组大鼠心脏超声结果比较

与正常组比较,模型组心脏扩大而收缩力下降,表现为LVIDd增大,而LVFS、LVEF下降($P<0.01$);与模型组比较,对照组及心康组心腔变小而收缩力增强,LVIDd缩小,LVEF、LVFS升高($P<0.05, P<0.01$);与对照组比较,心康组LVEF升高($P<0.05$)。见表2。

3.2 TUNNEL法观察细胞凋亡

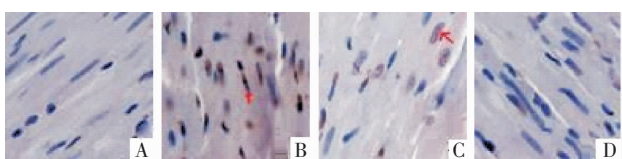
400×光镜下观察:正常组细胞核排列规整、呈蓝色长梭形。造模后,模型组棕褐色坏死颗粒物质

表2 各组大鼠心脏彩超结果比较($\bar{x}\pm s$)

组别	n	LVIDd/mm	LVEF/%	LVFS/%
正常组	10	4.02±0.81	90.17±2.20	55.85±10.08
模型组	11	6.56±1.31**	31.04±4.13**	27.32±2.32**
对照组	11	4.83±0.97△△	52.76±6.86△△	49.13±8.42△△
心康组	13	4.43±1.00△△	61.09±5.61△△▲	44.80±5.21△△
F值		16.85	91.37	54.24
P值		0.000	0.000	0.000

注:与正常组比较,** $P<0.01$;与模型组比较,△△ $P<0.01$;与对照组比较,▲ $P<0.05$

明显增多;与模型组相比,心康组棕褐色坏死颗粒物质则明显减少;与对照组相比,心康组心肌细胞凋亡相对较少。见图1。



注:A.正常组;B.模型组;C.心康组;D.为对照组

图1 各组大鼠心肌切片光镜图(TUNEL染色,×400)

3.3 Caspase-3 mRNA、Caspase-9 mRNA 比较

模型组与正常组比,Caspase-3、Caspase-9基因表达显著增加($P<0.01$),表明凋亡基因增多;心康冲剂干预后,心康组Caspase-3、Caspase-9基因表达显著下降($P<0.01$);与对照组比,心康组Caspase-3、Caspase-9基因表达差异无统计学意义($P>0.05$)。见表3。

表3 各组大鼠 Caspase-3 mRNA、Caspase-9 mRNA 表达比较($\bar{x}\pm s$)

组别	n	Caspase-3 mRNA	Caspase-9 mRNA
正常组	10	1.00±0.06	1.00±0.55
模型组	11	1.49±0.13**	2.79±0.20**
对照组	11	1.18±0.31△△	1.32±0.31△△
心康组	13	1.19±0.10△△	1.32±0.08△△
F值		8.608	112.4
P值		0.000	0.000

注:与正常组比较,** $P<0.01$;与模型组比较,△△ $P<0.01$

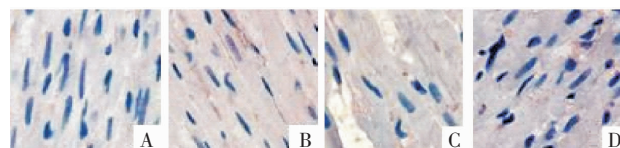
3.4 Caspase-3、Caspase-9 蛋白表达比较

与正常组比,模型组凋亡蛋白表达增多,Caspase-3、Caspase-9蛋白表达显著增加($P<0.01$);经心康冲剂、芪苈强心胶囊干预后,心康组及对照组Caspase-3、Caspase-9蛋白表达显著下降($P<0.01$);与对照组比,心康组caspase-3表达显著下降($P<0.05$)。见表4、图2-3。

表 4 各组大鼠 Caspase-3、Caspase-9 蛋白质表达比较($\bar{x}\pm s$)

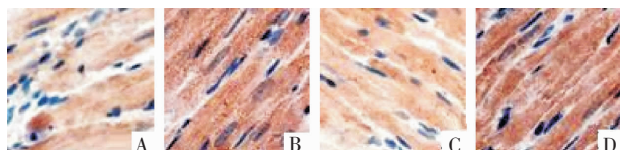
组别	n	Caspase-3	Caspase-9
正常组	10	0.18±0.02	0.29±0.04
模型组	11	0.48±0.04**	1.0±0.13**
对照组	11	0.32±0.08 ^{△△}	0.53±0.25 ^{△△}
心康组	13	0.29±0.03 ^{△△#}	0.44±0.23 ^{△△}
F 值		16.218	5.285
P 值		0.000	0.007

注:与正常组比较 ** $P<0.01$;与模型组比较,△△ $P<0.01$;与对照组比较, # $P<0.05$



注:A.正常组;B.模型组;C.心康组;D.对照组

图 2 各组大鼠心肌切片 Caspase-3 表达(免疫组化, $\times 400$)



注:A.正常组;B.模型组;C.心康组;D.对照组

图 3 各组大鼠心肌切片 Caspase-9 表达(免疫组化, $\times 400$)

4 讨论

中医学将慢性心力衰竭类归于“水肿”“喘证”“心悸”等范畴。中医药治疗慢性心力衰竭疗效肯定,研究证明,芪苈强心胶囊有抗大鼠心肌细胞凋亡作用^[10-11]。心康冲剂以真武汤、升陷汤及参苓白术散为基础方,具有健脾渗湿、温阳化气逐水饮功效,能有效治疗慢性心衰水肿、喘证、心悸等水湿内停之证^[4]。

细胞凋亡发病机制主要有死亡受体通路、线粒体通路、内质网通路 3 条途径。其中由多种生物、理化刺激信号触发形成凋亡体,激活 Caspase-9,从而剪切并激活下游的 Caspase-3 导致细胞凋亡,是内源性途径机制。Caspases 介导心肌细胞凋亡并参与慢性心力衰竭的发生、发展^[12-13]。Caspase-3 是凋亡级联反应最关键的凋亡蛋白酶^[14]。

本实验中,模型组心肌凋亡明显增多,LVIDd 明显升高,而 LVFS、LVEF 显著下降,同时 Caspase-3 及 Caspase-9 的核酸及蛋白表达增加,表明凋亡组织中具有 Caspase-3、Caspase-9 表达增加的特征。心康冲剂干预后,心肌凋亡减轻,LVIDd 明显下降,LVEF、LVFS 显著升高,表明心康冲剂具有缩小扩大的心脏、增强心肌收缩力、提升射血功能。与对照组比,心康冲剂组使心脏缩小、心功能提高更明显,并且下调 Caspase-3 蛋白表达更明显,而 Caspase-3

mRNA 表达无差异,表明心康冲剂调控 Caspase-3 的 mRNA 与蛋白表达呈非一致性,说明在调控 Caspase-3 的 mRNA 与蛋白表达中有其他因素参与;因此,临床实践及动物实验表明,心康冲剂具有良好的抗心衰竭及抗心肌凋亡作用,临床值得推广应用。

参考文献

- CONSILI C, GATTA L, IELLAMO F, et al. Severity of left ventricular dysfunction in heart failure patients affects the degree of serum-induced cardiomyocyte apoptosis. Importance of inflammatory response and metabolism[J]. International Journal of Cardiology, 2013,167(6):2859-2866.
- BOFFA G M, ZANINOTTO M, SARTOR R, et al. Interleukin-6 and tumornecrosis factor-alpha as biochemical markers of heart failure: Ahead -to -head clinical comparison with B - type natriuretic peptide [J]. Journal of Cardiovascular Medicine, 2009,10(10):758-764.
- KHAN M, ZHENG B, YI F, et al. Pseudolaric acid B induces Caspase dependent and Caspase -independent apoptosis in u87 glioblastoma cells[J]. Evid Based Complementary Alternative Medicine,2012(2012):957568.
- 宋亚妮,谭 雄,聂孝平.心康冲剂对慢性心力衰竭大鼠血浆 RAAS 的影响[J].中医药导报,2015,21(1):21-23.
- 张 辉.心康冲剂对慢性心力衰竭大鼠 AQP2mRNA、AVPV2mRNA 表达的影响[J].湖南中医药大学学报,2014,34(10):20-23.
- 张 辉,聂孝平,毛湘屏,等.心康冲剂对慢性心衰大鼠 AVPmRNA 表达的影响[J].中医药导报,2015,21(14):70-74.
- XU K, GEORGE I, KLOTZ S, et al. Erythropoietin derivate improves left ventricular systolic performance and attenuates left ventricular remodeling in rats with myocardial infarct-induced heart failure[J]. Journal of Cardiovascular Pharmacology, 2010,56(5):506-512.
- 徐建虎,张 琦,杨子庆,等.阿霉素诱导大鼠慢性心衰模型的制备 [J].宁夏医科大学学报,2016,3(39):348-351.
- 贺石林,王 键,王净净.中医科研设计与统计学[M].长沙:湖南科学技术出版社,2006:48.
- 林锐波.芪苈强心胶囊对心梗后心衰大鼠心功能及凋亡蛋白 caspase-3 表达的影响[D].汕头:汕头大学,2010.
- 徐 涛,郭丽峰,陈立锋.芪苈强心胶囊对慢性心力衰竭大鼠心肌细胞凋亡的影响[J].中药新药与临床药理,2010,21(4):366-369.
- 刘蓉芳,谭 雄,张 辉,等.慢性心衰大鼠心肌 miRNA-1、iRNA-133/Caspases 表达差异研究[J].湖南中医药大学学报,2017,37(12):1326-1330.
- 陈 聪,吴勇军,喻 嶸,等.左归降糖益肾方含药血浆对高糖培养小鼠足细胞凋亡及 Caspase-12 表达的影响[J].湖南中医药大学学报,2015,35(3):1-4.
- LI Q, GUO Y L, LI X, et al. The interference of picroside II on the expressions of caspase-3 and PARP following cerebral ischemia reperfusion injury in rats[J]. Chinese Pharmacological Bulletin, 2010,26(3):342-345.